

## ПРЯМОЕ НАБЛЮДЕНИЕ ФОКУСИРОВКИ АКУСТИЧЕСКИХ ФОНОНОВ В КРИСТАЛЛАХ РУБИНА.

*A.B.Акимов, С.А.Басун, А.А.Капланский,  
В.А.Рачин, Р.А.Титов*

С помощью техники оптического детектирования тепловых импульсов показано существование направлений преимущественного распространения (лучей фокусировки) поперечных акустических волн  $\sim 10^{12}$  Гц в рубине.

Эффект фокусировки акустических волн в кристаллах [1] состоит в резкой анизотропии пространственного распределения потока энергии акустических волн в решетке. Он обусловлен упругой анизотропией кристаллов, которая приводит к несовпадению вектора групповой скорости  $v$ , определяющего распространение энергии волн, с вектором

их фазовой скорости (волновым вектором  $\mathbf{q}$ ). Фокусировка фононов ранее экспериментально исследовалась в опытах с высокочастотными акустическими фононами ( $\sim 10^{12} \text{ Гц}$ ), генерируемыми в виде тепловых импульсов и детектируемыми балометрически [1]. Она проявлялась в аномальном соотношении интенсивности "продольных" и "поперечных" фононных импульсов, распространяющихся в одном направлении. В настоящей работе с помощью техники оптического детектирования тепловых импульсов [2, 3] экспериментально показано, что распространение (поперечных) фононов обладает резкой угловой анизотропией и имеются направления преимущественного распространения фононов в кристаллах.

Эксперименты выполнялись на рубине  $\text{Al}_2\text{O}_3 \cdot \text{Cr}^{3+}$ . Для тригональной решетки корунда  $\text{Al}_2\text{O}_3$  путем теоретического машинного расчета с использованием известных упругих констант недавно показано [4], что при изотропном пространственном распределении волновых векторов  $\mathbf{q}$  поперечных акустических волн соответствующее распределение векторов групповых скоростей  $\mathbf{v}$  имеет очень узкие области сгущения (лучи фокусировки) и вычислено направление этих лучей в кристалле.

В опытах использовались прямоугольные монокристаллические образцы  $\text{Al}_2\text{O}_3 \cdot \text{Cr}^{3+}$  с линейными размерами несколько десятков  $\text{мкм}^3$ , (см. рис. 1, где показан участок образца). Границы образца ориентированы по: базисной плоскости, перпендикулярной тригональной оси  $C_3$ ; вертикальной плоскости симметрии  $\sigma_v$ ; плоскости ( $C_3, C_2$ ), содержащей симметрию  $C_3$  и горизонтальную ось  $C_2$ . Образец находится при  $T = 2\text{К}$ . На одну из граней напылен тонкопленочный нагреватель " $h$ ", разогреваемый с частотой повторения 100  $\text{кГц}$  импульсами тока длительностью 200  $\mu\text{сек}$ . Инжектируемые при этом из " $h$ " в кристалл тепловые фононные импульсы распространяются в кристалле баллистически.

Принцип оптического детектирования тепловых импульсов описан в [2, 3]. Светом сфокусированного Ar-лазера внутри кристалла создается область, в которой часть ионов  $\text{Cr}^{3+}$  переведена в метастабильное  $E$  ( ${}^2E$ )-состояние. Прохождение теплового импульса через возбужденный объем индуцирует переходы  $\bar{E} \rightarrow 2\bar{A}$ , что дает импульс люминесценции в линии  $R_2(2\bar{A} \rightarrow {}^4A_2)$

$$I_{R_2}(t) \sim n(t) \alpha N^* \quad (1)$$

Здесь  $n(t)$  и  $\alpha$  — концентрация и сечение поглощения резонансных фононов  $19 \text{ см}^{-1}$  ( $0,87 \cdot 10^{12} \text{ Гц}$ ), вызывающих переходы  $\bar{E} \rightarrow 2\bar{A}$ ,  $N^*$  — концентрация возбужденных ионов  $\text{Cr}^{3+}$ . Световод  $L$  собирает свет люминесценции из малого возбужденного объема " $d$ ", находящегося на пересечении луча лазера и оси световода. Излучение попадает через световод на щель монохроматора, выделяющего  $R_2$ -линию, и далее на ФЭУ, включенный в электронную регистрирующую систему. Таким образом,

<sup>1)</sup> Использовались монокристаллы  $\text{Al}_2\text{O}_3 \cdot 0,025\% \text{ Cr}^{3+}$  с высокой однородностью распределения  $\text{Cr}$ , выращенные М.И.Мусатовым по методу ГОИ.

объем "d" является резонансным детектором  $29 \text{ cm}^{-1}$ -фононов, причем люминесцентный  $R_2$ -импульс (1) отражает число фононов  $n(t)$  в детектирующем объеме "d".

Для наших целей очень важна возможность перемещения детектора "d" внутри образца, которое легко осуществляется контролируемым сдвигом кристалла относительно неподвижной системы лазерный луч – световод. Это позволяет исследовать фоновые импульсы при разных направлениях распространения фононов I (линия  $h-d$ ) в кристалле. Положение вектора распространения фононов пусть характеризуется углом  $\frac{\pi}{2} < \theta < \frac{\pi}{2}$  с осью  $C_3$  и азимутальным углом в базисной плоскости. На рис. 1 дан пример расположения детектора "d" в образце ( $45 \times 30 \times 10 \text{ mm}^3$ ) при изменении направления I в меридиональной плоскости, являющейся плоскостью симметрии  $\sigma_y$ . В этом случае переменный угол  $\theta = \arg \operatorname{ctg} \frac{D}{X}$ , где  $X$  – (переменная) и  $D (7 + 10 \text{ mm})$  – две измеряемые координаты "d" (рис. 1).

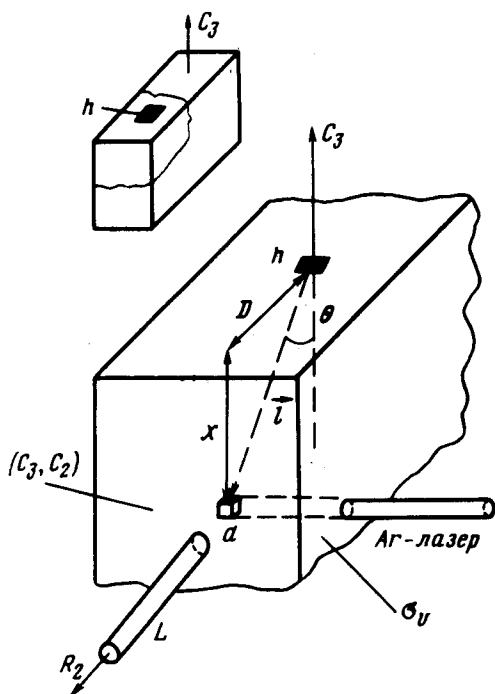


Рис. 1. Схема эксперимента

На рис. 2 приведены типичные импульсы  $R_2$ -люминесценции  $I_{R_2}(t)$  от поперечных фононов, наблюдаемые в этой схеме опыта при различных углах  $\theta$  через интервал  $\Delta\theta = 2,5^\circ$ . Баллистические фононы, распространяющиеся по кратчайшей линии  $h-d$ , имеют наименьшее время пролета до детектора  $t = l/v_T$  ( $l$  – расстояние  $h-d$ ,  $v_T$  – скорость фононов), и дают передний крутой фронт импульса  $I_{R_2}(t)$ . За счет фононов, дошедших до "d" по непрямым траекториям (отражение от стенок рассеяние в объеме) задний фронт импульсов оказывается сильно затянутым. Из рис. 2 видно, что в области углов около  $\theta_1 = 54^\circ$  наблюдается резкое сужение  $R_2$ -импульсов и сильное увеличение их интенсивности. Анало-

гичное явление наблюдается при распространении поперечных фононов в той же плоскости  $\sigma_v$  и в другой области углов — около  $\theta_2 = -38^\circ$ .

Измерения на другом образце ( $12 \times 12 \times 40 \text{ mm}^3$ ) показали, что при изменении направления  $\mathbf{l}$  (угла  $\theta$ ) в меридиональной плоскости ( $C_3, C_2$ ) также наблюдается сужение импульса  $I_{R_2}(t)$  от поперечных фононов и увеличение его амплитуды, происходящее<sup>2</sup> однако при двух других значениях углов:  $\theta_1 = 43^\circ$  и  $\theta_2 = -45^\circ$ . Явление сужения и увеличения  $I_{R_2}(t)$  при указанных углах  $\theta_1, \theta_2$  наблюдалось при распространении поперечных фононов в плоскостях  $\sigma_v$  и ( $C_3, C_2$ ) и при некоторых других схемах наблюдения, отличных от рис. 1.

Обнаруженное сужение и увеличение амплитуды  $I_{R_2}(t)$  свидетельствует о резком возрастании числа поперечных баллистических фононов, распространяющихся в меридиональных плоскостях кристалла  $\sigma_v$  и ( $C_3, C_2$ ) под определенными углами  $\theta_1, \theta_2$  к оси  $C_3$ . Очевидно, эффект связан с фокусировкой поперечных фононов. Результаты опыта хорошо согласуются с выводами расчета [4], предсказывающими наличие очень резкой фокусировки для поперечных фононов, распространяющихся в меридиональных плоскостях — по двум направлениям в каждой плоскости.

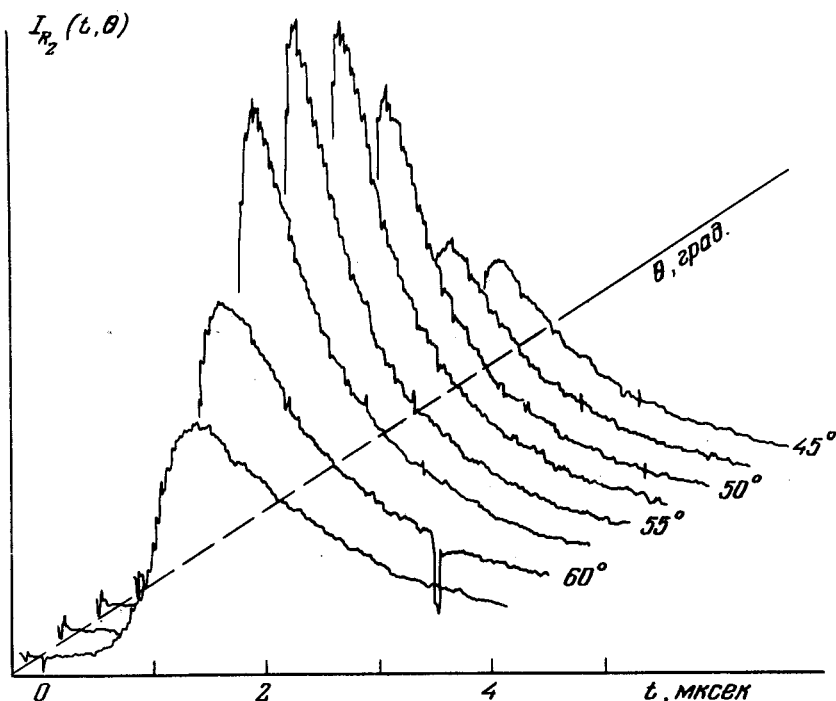


Рис. 2. Импульсы  $R_2$ -люминесценции от поперечных фононов для разных направлений распространения в меридиональный плоскости  $\sigma_v$

При этом наблюдаемые направления фокусировки в плоскостях  $\sigma_v$  ( $\theta_1 = 54^\circ, \theta_2 = -38^\circ$ ) и ( $C_3, C_2$ ) ( $\theta_1 = 45^\circ, \theta_2 = -45^\circ$ ) близки к расчетным [4]. Интересно, что при изменении направления  $\mathbf{l}$  в базисной плоскости кристалла никакой заметной фокусировки не наблюдалось, что также

соответствует теоретическим выводам, учитывающим характер упругой анизотропии корунда.

В описанных опытах амплитуды  $R_2$ -импульсов  $I_L(t)$  от продольных фононов (которые вообще меньше  $R_2$ -импульсов от поперечных фононов  $I_T(t)$  [2] из-за разницы в сечениях  $\alpha \sim \frac{1}{v^3}$  при  $v_L \approx 2v_T$ ) были очень малы. При этом в области углов фокусировки  $\theta_1, \theta_2$  отношение амплитуд импульсов  $I_L / I_T$  заачительно уменьшалось в полном согласии с тем обстоятельством, что продольные фононы теоретически [4] не должны испытывать заметной фокусировки.

Следует заметить, что экспериментальная "угловая" ширина лучей фокусировки ( $\sim 8^\circ$ , см. рис. 2) существенно больше расчетной [4]. Наблюдаемая ширина определяется угловой разрешающей способностью метода, которая из-за относительно больших линейных размеров нагревателя " $h$ " ( $\sim 1,5 \text{ мм}$ ) и детектора " $d$ " составляет при расстояниях  $h - d \approx 10 \text{ мм}$  примерно  $\Delta\theta \approx 6^\circ$ .

Физико-технический институт  
им. А.Ф.Иоффе  
Академии наук СССР

Поступила в редакцию  
19 апреля 1977 г.

## Литература

- [1] B.Tailor, H.J.Marls, C.Elbaum. Phys. Rev., B3, 1462, 1971.
- [2] K.F.Renk, I.Deisenhofer. Phys. Rev. Lett., 26, 764, 1971.
- [3] А.А.Каплянский, С.А.Басун, В.А.Рачин, Р.А.Титов. Письма в ЖЭТФ, 21, 438, 1975.
- [4] I.Doulat, B.Locatelli, I.Rivallin. "Phonon Scattering in Solids", ed. by L.I.Challis, V.W.Rampton, A.F.G.Wyatt. Plenum Press 1976. p.383